

## Multi-Objective Optimization of Drainage Depth Based on Fair Benefits Division; Short-Term versus Long-Term Environmental Effects

F. Haji Rajabi<sup>1</sup> and H. Mazandarani Zadeh<sup>2\*</sup>

### Abstract

In south Khuzestan construction of drainage systems is vital for amending saline soils and protecting the lands against salinity stress. However, these systems have some potential environmental effects and have become a major challenge in the region in recent years. These environmental effects can be divided into two categories; short-term effects of primary leaching and long-term effects. According to the salinity distribution in the soil, short-term and long-term environmental effects are conflicting; so that, less salt is discharged to the environment in primary leaching and it will result in high salt discharge to the environment during drainage operation. Therefore, short and long term environmental effects are discussed in this study to determine the optimal parameters for drainage designs. For this purpose, multi-objective simulated annealing model was used. Also, fair benefit division model has been used to select final optimal points among the multi-objective outputs. As a case study to test the ability of presented model, the data of Salman Farsi agro-industrial enterprise was used. According to the multi-objective model results, the optimum installation depth for the output varied between 1.1 to 2.7 m. This optimum installation depth was reduced to 1.45 to 2 m using the fair benefits division model. Optimum installation depth using symmetric Nash method was approximately 1.5 meters.

**Keywords:** AMOSA, Multi-Objective Optimization, Simulated Annealing, Salinity Control, Conflict of Interests, Nash Method.

Received: March 11, 2017

Accepted: July 6, 2017

## بهینه‌سازی دوهدفه عمق نصب زهکش بر مبنای تقسیم عادلانه منافع

## آثار کوتاه‌مدت در مقابل آثار بلندمدت زیست‌محیطی

فائزه حاجی رجبی<sup>۱</sup> و حامد مازندرانی زاده<sup>۲\*</sup>

### چکیده

احداث سیستم زهکشی به منظور اصلاح خاک‌های شور و حفاظت از اراضی در مقابل شوری مجدد در خاک‌های جنوب خوزستان ضروری است؛ اما اثرات ناخواسته زیست‌محیطی که به همراه دارند، در سال‌های اخیر تبدیل به چالشی بزرگ در مناطق دارای شبکه‌های زهکشی شده است. اثرات زیست‌محیطی بهره‌برداری را می‌توان به دو بخش اثرات کوتاه‌مدت ناشی از آشیوی اولیه و اثرات درازمدت تقسیم نمود. بر اساس نیميخ توزیع شوری در خاک، اهداف کوتاه‌مدت و درازمدت زیست‌محیطی در تعارض با یکدیگر می‌باشند به گونه‌ای که کاهش نمک تخلیه شده به محیط‌زیست در اثر آشیوی اولیه باعث باقی ماندن نمک و افزایش نمک تخلیه شده به محیط‌زیست در دوران بهره‌برداری خواهد شد، در این تحقیق تقابل آثار کوتاه‌مدت و بلندمدت زیست‌محیطی به منظور تعیین پارامترهای بهینه طراحی زهکش مورد توجه قرار گرفته است. به این منظور از مدل بهینه‌سازی دوهدفه بازپخت فلزات و همچنین از مدل‌های تقسیم عادلانه منافع برای انتخاب نقطه بهینه نهایی از میان نقاط بهینه خروجی مدل بهینه‌سازی چندهدفه استفاده شده است. به منظور ارزیابی توانایی مدل ارائه شده، اطلاعات شرکت کشت و صنعت سلمان فارسی به عنوان مطالعه موردی استفاده شد. نتایج مدل بهینه‌سازی نشان می‌دهد عمق بهینه نصب از ۱/۱ تا ۲/۷ متر متغیر است، در حالی که محدوده تغییرات عمق بهینه نصب در صورت استفاده از مدل‌های تقسیم عادلانه منافع به بازه ۱/۴۵ تا ۲ متر کاهش می‌یابد و عمق بهینه نصب با استفاده از روش NASH مقارن در حدود ۱/۵ متر است.

**کلمات کلیدی:** AMOSA، بهینه‌سازی چندهدفه، بازپخت فلزات، کنترل شوری، تعارض منافع، روش NASH.

تاریخ دریافت مقاله: ۹۵/۱۲/۲۱

تاریخ پذیرش مقاله: ۹۶/۴/۱۵

۱-Former MSc. Graduate Student, Water Sciences and Engineering Department, Faculty of Engineering and Technology, Imam Khomeini International University, Qazvin, Iran. Email: faeze\_hajirajabi@yahoo.com

۲- Assistant Professor, Water Sciences and Engineering Department, Faculty of Engineering and Technology, Imam Khomeini International University, Qazvin, Iran. Email: mazandaranizadeh@eng.ikiu.ac.ir

\*- Corresponding Author

۱-دانشآموخته کارشناسی ارشد گروه مهندسی علوم و مهندسی آب، دانشکده فنی مهندسی، دانشگاه بین‌المللی امام خمینی (ره)، قزوین، ایران

۲- استادیار گروه علوم و مهندسی آب، دانشکده فنی مهندسی، دانشگاه بین‌المللی امام خمینی (ره)، قزوین، ایران

\*- نویسنده مسئول بحث و مناظره (Discussion) در مورد این مقاله تا پایان خرداد ۱۳۹۷ امکان‌پذیر است.

## ۱- مقدمه

سلامت محیط‌زیست را بهشت تهدید نماید. بر اساس تحقیق Sotoodehnia et al. (2014) بیشترین مشکلات زیست‌محیطی زهکش‌های زیرزمینی، دفع مواد شیمیایی حاصل از کشاورزی (کودها و سوموم شیمیایی) در اراضی زمده و تخلیه املاح به محیط‌زیست است؛ لذا در آن تحقیق پیشنهاد شده است که معیارهای رایج طراحی به‌گونه‌ای بازنگری شوند که جنبه‌های زیست‌محیطی نیز در آن‌ها گنجانده شود. همچنین، در تحقیق Nazari et al. (2008) مشخص شد در مناطق با آب‌های شور کم‌عمق مانند جنوب ایران، افزایش عمق نصب زهکش‌ها می‌تواند به افزایش نمک خروجی از زهکش‌ها زیرزمینی منجر شود و همچنین کاهش عمق نصب زهکش‌ها نیز پیامدهای مختلفی را مانند ماندابی شدن، تجمع نمک در ناحیه ریشه گیاه و کاهش عملکرد گیاه در پی خواهد داشت. برای شوری‌زدایی خاک‌های شور، به‌طورمعمول به آبشویی نمک‌های محلول از نیمرخ خاک و لایه‌ای که اصلاح آن موردنظر است، اقدام می‌گردد. بر اساس تحقیق Corwin et al. (2007) و Konukcu et al. (2005) عمق آب لازم برای آبشویی نمک‌ها، بستگی به میزان شوری اولیه، بافت و عمق خاک، گیاهان انتخابی در الگوی کشت و روش آبشویی نمک‌های محلول دارد. پارامترهای طراحی زهکش شامل عمق و قطر لوله‌های زهکش به‌عنوان پارامتر مستقل و فاصله زهکش‌ها به‌عنوان پارامتر واپسیه هستند که بسته به نوع هدف می‌توان ترکیبی مختلف از این متغیرها را به کار برد. در تحقیق Mazandaranizadeh (2016) به بهینه‌سازی چنددهفه اقتصادی-محیط‌زیستی عمق نصب زهکش‌های زیرزمینی با استفاده از مدل NSGA-II پرداخته شده است، نتایج نشان داد عمق بهینه نصب که همزمان هر دو هدف اقتصادی و محیط‌زیستی را تأمین نماید در فاصله ۱/۳ تا ۱/۸ متر است.

توزیع نمک در خاک از الگوی جریان آب در خاک پیروی می‌کند. به‌عنوان مثال نفوذ رو به پایین آب در خاک، نمک را از سطح بالایی خاک به عمق‌های پایین‌تر انتقال می‌دهد. بر اساس تحقیق Hanson et al. (2006) نوع خاک، نوع نمک، ترکیبات شیمیائی موجود در خاک، مقدار آب به‌کاررفته و روش آبیاری همگی بر الگوی توزیع و حرکت نمک در خاک تأثیرگذار هستند. Rajabzadeh et al. (2011) و Gaarde et al. (1974) نشان دادند که در شرایط عدم وجود شستشو و پیش از آبشویی اولیه، تجمع املاح در لایه‌های سطحی بیشتر و در عمق کمتر است. به‌این ترتیب نصب زهکش‌های عمیق، هرچند باعث شسته شدن نیمرخ عمیق‌تری از خاک در کوتاه‌مدت در اثر آب آبشویی اولیه می‌شوند، ولی در هنگام بهره‌برداری به علت مجاورت با آب زیرزمینی با غلظت مناسب‌تر، شوری کمتری خارج می‌شود. همچنین آبشویی اولیه در زهکش‌های

یکی از مهم‌ترین مشکلات خاک‌های مناطق خشک و نیمه‌خشک، شوری خاک است؛ زیرا در این مناطق به علت بارندگی کم و اقلیم خشک، املاح تجمع پیدا کرده و درنتیجه خاک‌ها شور می‌شوند. شبکه‌های زهکشی با ایجاد امکان آبشویی، کنترل شوری خاک را میسر می‌سازد. جمع‌آوری و تخلیه آب مازاد و نمک‌های خاک، اراضی کشاورزی را از ماندابی و شور شدن نجات می‌دهد. زهکشی همچنین باعث تهویه در خلل و خرج خاک شده و تنفس ریشه گیاه را نیز تضمین می‌کند. وجود بیش از ۴۰۰ هزار هکتار از اراضی جنوب ایران که به دلیل محدودیت شدید شوری از پتانسیل تولید بسیار ضعیفی برخوردار است، اهمیت طرح‌های زهکشی زیرزمینی را در ایران مشخص می‌نماید. شبکه‌های زهکشی موجب کنترل شوری و احیای اراضی می‌شوند؛ اما اثرات ناخواسته زیست‌محیطی که به همراه دارند، در سال‌های اخیر تبدیل به چالشی بزرگ در مناطق دارای شبکه‌های زهکشی شده است. تحقیقات زیادی توسط محققان نظری Mazandaranizadeh (2016) و Rajabzadeh et al. (2011) و Sotoodehnia et al. (2014) خصوص اثرات زیست‌محیطی اجرای طرح‌های زهکشی انجام شده است.

در گذشته در مناطق نیمه‌خشک با آب زیرزمینی شور و کم‌عمق، سامانه‌های زهکشی به‌منظور پایین نگه‌داشتن سطح ایستابی از عمق ریشه طراحی و اجرا می‌گردید. لیکن امروزه در زمینه زهکشی نگرش‌های جدیدی مطرح گردیده است. در نگرش جدید علاوه بر هدف کنترل سطح ایستابی، کاهش میزان زهاب خروجی جهت حفاظت از منابع آب‌وخاک نیز به‌عنوان هدف در نظر گرفته می‌شود. در تحقیق Mokhtarani et al. (2013) بررسی اثر عمق زهکش بر دبی خروجی از زهکش نشان داد با کاهش عمق زهکش دبی زهاب خروجی به‌شدت کاهش می‌یابد. زهکشی در مناطق خشک و نیمه‌خشک با خارج کردن نمک اضافی از خاک همراه است، بر اساس تعریف بانک جهانی، زهکشی فرآیند خارج کردن آب سطحی اضافی و مدیریت سفره آب زیرزمینی کم‌عمق از طریق نگهداشت و دفع آب و مدیریت کیفیت آب برای رسیدن به منافع دلخواه اقتصادی و اجتماعی در ضمن حفظ محیط‌زیست است (Nijland et al., 2005). در حال حاضر استفاده مجدد از زهکش‌های کشاورزی و پساب فاضلاب‌ها، به‌ویژه در مناطق کم‌آب و مواجه با تنش آبی یکی از راهکارهای مقابله با بحران کم‌آبی است. تحقیقات Adimi (2006) نشان می‌دهد مصرف آبی که به شکل‌های مختلف توسط پساب واحدهای صنعتی، خانگی و کشاورزی آلوه شده است می‌تواند پیامدهای خطرناکی در پی داشته و

پارامترهای فاصله و قطر لوله زهکش توسط الگوریتم بهینه‌سازی حدس زده می‌شود. سپس، با استفاده از معادله هوخهات، عمق نصب و غلظت زهاب محاسبه می‌شود. از بین جواب‌های بهدست آمده از روش بهینه‌سازی چندهدفه، توسط روش‌های تقسیم عادلانه منافع نقطه مطلوب نهایی به دست می‌آید.

**۱-۲- مطالعه موردی: شرکت کشت و صنعت سلمان فارسی**  
 شرکت کشت و صنعت سلمان فارسی در فاصله ۴۰ کیلومتری جنوب اهواز و در مسیر جاده اهواز-آبادان واقع است. منبع اصلی تأمین آب مورد نیاز آبیاری مزارع نیشکر، رودخانه کارون است که در فاصله دو کیلومتری در غرب اراضی طرح قرار دارد (Mazandaranizadeh, 2016). طول رودخانه کارون تقریباً ۸۹۰ کیلومتر بوده و آبرسانی از طریق ایستگاه پمپاژ متتمرکز و با استفاده از کanal‌های آبرسانی اصلی و فرعی و لوله‌های اصلی آبیاری انجام می‌گیرد. در جدول ۱ اطلاعات کمی و کیفی مطالعه موردی ارائه شده است.

**Table 1- Quantitative and qualitative information of the case study (Salman Farsi agro-industry)**

**جدول ۱- اطلاعات کمی و کیفی مطالعه موردی  
(کشت و صنعت سلمان فارسی)**

Parameter	Description	Unit	Value
$k_{up}$	Hydraulic conductivity above the drainage	$m \cdot day^{-1}$	1
$k_{down}$	Hydraulic conductivity under the drainage	$m \cdot day^{-1}$	1
q	Drainage coefficient	$mm \cdot day^{-1}$	6
S	Impermeable layer depth	m	6
W	Preliminary water-table depth	m	1.5
H	Stabilization depth of water-table	m	1
$C_{up}$	Salinity of irrigation water	$dS \cdot m^{-1}$	2.5

کیفیت و دبی رودخانه کارون طی ماههای مختلف سال متغیر بوده و کیفیت آن به میزان جریان وابسته است. به طور معمول حداقل غلظت املاح در بهار و اوایل تابستان و حداقل آن در اواخر تابستان و اوایل پاییز است. بر اساس تحقیق (Mazandaranizadeh, 2016) غلظت شوری این رودخانه در فصل تابستان و برابر  $2/5$  دسی زیمنس بر متر گزارش شده است. همچنین بر اساس تحقیق Rajabzadeh et al. (2011) نیمرخ شوری خاک قبل از آبشویی با استفاده از رابطه (۱) قابل نمایش است:

کم‌عمق به خروج مقادیر کمتری از نمک در کوتاه‌مدت منجر خواهد شد ولی در دراز‌مدت با توجه به شوری زیاد لایه‌های پایینی، نمک بیشتری به محیط‌زیست وارد می‌شود. از آنجاکه بسیاری از مسائل از ماهیت چندهدفه برخوردار هستند و امکان حل آن‌ها با روش‌های بهینه‌سازی تک‌هدفه ممکن نیست، بهینه‌سازی چندهدفه مورد توجه محققین قرار گرفته است از آن جمله می‌توان به (Banihabib et al. (2016) Mazandaranizadeh (2016) کرد که با استفاده از الگوریتم NSGA-II اقدام به حل مسئله بهینه‌سازی چندهدفه به ترتیب در زمینه طراحی زهکش زیرزمینی و مسئله بازنوسی آب کشاورزی نموده‌اند.

بررسی تحقیقات انجام‌شده نشان می‌دهد در اغلب آن‌ها منظور از صدمات وارد به محیط‌زیست، فقط آثار زیست‌محیطی بعد از اجرای آبشویی اولیه و در هنگام بهره‌برداری است، به عبارت دیگر در آن مدل‌ها فقط آثار بلندمدت ناشی از اجرای طرح‌های زهکشی اعمال شده است. در حالی که پس از اجرای هر طرح زهکش و پیش از بهره‌برداری کامل از سیستم، عملیات آبشویی انجام می‌شود. در این عملیات تقریباً تمام نمک بالای سطح زهکش در مدت نسبتاً کوتاهی تخلیه و وارد طبیعت می‌شود، این اثر به عنوان یک اثر کوتاه‌مدت زیست‌محیطی شناخته می‌شود. با توجه به اینکه هدف کوتاه‌مدت و بلندمدت زیست‌محیطی در طرح‌های زهکشی در تضاد با یکدیگر بوده و بهبود یکی منجر به تضعیف دیگری می‌شود، در این تحقیق به تعیین عمق بهینه نصب زهکش زیرزمینی با استفاده از مدل بهینه‌سازی دوهدfe با هدف کاهش هم‌زمان آثار کوتاه‌مدت و بلندمدت زیست‌محیطی پرداخته شده است. به این منظور از مدل بهینه‌سازی چندهدفه بازیخت فلزات (AMOSA) که مدلی بر پایه مدل بهینه‌سازی بازیخت فلزات (SA) و مختص حل مسائل چندهدفه است، استفاده شده و با توجه به اینکه خروجی مدل‌های بهینه‌سازی چندهدفه تعدادی جواب بهینه است به منظور انتخاب جواب نهایی از بین جواب‌های بهدست آمده، روش‌های تقسیم عادلانه منافع مورداستفاده قرار گرفته است. شایان ذکر است در این تحقیق، هدف اقتصادی برخلاف تحقیقات گذشته که به عنوان یکی از اهداف طراحی زهکش در نظر گرفته شده است، لحاظ نشده است و طراحی زهکش صرفاً بر اساس تقابل دو هدف زیست‌محیطی کوتاه‌مدت و بلندمدت انجام شده است.

## ۲- مواد و روش‌ها

از آنجاکه هدف از انجام این مطالعه محاسبه پارامترهای طراحی زهکش به منظور کمینه نمودن خسارت‌های کوتاه‌مدت و بلندمدت زیست‌محیطی ناشی از بهره‌برداری زهکش زیرزمینی است، در ابتدا

زهکش بر حسب میلی‌متر بر روز،  $q$  ضریب زهکشی،  $d$  عمق معادل فاصله محل زهکش تا لایه غیرقابل نفوذ بر حسب متر،  $h$  ارتفاع سفره آب در بالا و بین دو خط زهکش بر حسب متر،  $L$  فاصله زهکش‌ها بر حسب متر،  $D$  فاصله عمودی میان عمق نصب زهکش و لایه نفوذناپذیر بر حسب متر،  $R$  شعاع لوله زهکش و محیط خیس شده لوله زهکش بر حسب متر است. شکل ۲ به نمایش پارامترهای به کاررفته در معادله هوخهات می‌پردازد.

$$(1) \quad C = 50.91 d^{-0.35}$$

که  $d$  عمق خاک بر حسب متر و  $C$  شوری خاک بر حسب دسی‌زمینس بر متر است. شکل (۱) تغییرات شوری را در عمق خاک پیش از آبشویی اولیه نشان می‌دهد. همان‌گونه که در این شکل مشاهده می‌شود، بیشترین تجمع نمک قبل از آبشویی در نواحی نزدیک به سطح است به عبارت دیگر در اثر آبشویی اولیه املاح واقع در بالای سطح زهکش شسته شده و به محیط تخلیه می‌گردد.

### ۳-۲- الگوریتم بهینه‌سازی چندهدفه AMOSA

الگوریتم‌های بهینه‌سازی چندهدفه برخلاف الگوریتم‌های بهینه‌سازی تک‌هدفه به جواب نهایی یکتا منجر نمی‌شود، خروجی نهایی این الگوریتم‌ها تعدادی جواب بهینه است که جبهه پارتون نامیده می‌شود و نسبت به یکدیگر نامغلوب هستند. در روش AMOSA که توسط Bandyopadhyay et al. (2008) توسعه یافته است، از دو مفهوم غلبه کامل و غلبه نسبی جواب‌ها بر یکدیگر استفاده شده است.

الف- غلبه کامل جواب‌ها بر یکدیگر: اگر  $x_1$  و  $x_2$  دو بردار جواب از مسئله بهینه‌سازی  $M$  هدفه باشند،  $x_1$  غالب و  $x_2$  جواب مغلوب خوانده می‌شود اگر و تنها اگر  $x_1$  در تمام اهداف بهتر یا مساوی با  $x_2$  باشد ( $M$ ) و  $f_i(x_1) \geq f_i(x_2)$ ،  $\forall i=1,2,3\dots M$  و حداقل در یک هدف بهتر باشد  $.(f_i(x_1) > f_i(x_2), \exists i=1,2,3\dots M)$ .

در این رابطه  $f_i(x_j)$  مقدار تابع هدف  $i$ ام به ازای جواب  $x_j$  است. بر اساس شکل ۳ اگر هدف‌های  $f_1$  و  $f_2$  هر دو بیشینه‌سازی باشند، نواحی  $B$  و  $D$  شامل جواب‌های نامغلوب با جواب  $x$  است، ناحیه  $A$  شامل جواب‌های مغلوب توسط  $x$  و ناحیه  $C$  شامل جواب‌های غالب بر جواب  $x$  هستند.

### ۲-۲- معادله هیدرولیکی محاسبه غلظت زهاب خروجی

با فرض شکل‌گیری جریان ماندگار،  $d_e$  و غلظت زهاب خروجی از زهکش در هنگام بهره‌برداری از رابطه هوخهات قابل محاسبه است (Mazandaranizadeh, 2016)

$$(2)$$

$$C_{\text{drain}} = C_{\text{up}} \times \frac{\frac{4k_{\text{up}} h^2}{L^2}}{\frac{4k_{\text{up}} h^2 + 8k_{\text{down}} d_e h}{L^2}} + C_{\text{down}} \times \frac{\frac{8k_{\text{up}} d_e h}{L^2}}{\frac{4k_{\text{up}} h^2 + 8k_{\text{down}} d_e h}{L^2}}$$

$$q = \frac{4k_{\text{up}} h^2 + 8k_{\text{down}} d_e h}{L^2} \quad (3)$$

$$d_e = \frac{D}{\left(\frac{8D}{\pi L} \ln\left(\frac{D}{u}\right)\right) + 1} \quad \text{if } D < \frac{1}{4} L \quad (4)$$

$$d_e = \frac{\pi L}{8 \ln \frac{L}{u}} \quad \text{if } D > \frac{1}{4} L \quad (5)$$

$$u = \pi R^2 \quad (6)$$

در معادله بالا  $C_{\text{drain}}$  غلظت شوری خروجی از زهکش،  $C_{\text{up}}$  و  $C_{\text{down}}$  به ترتیب غلظت آب ناحیه بالا و پایین زهکش بر حسب دسی‌زمینس بر متر،  $k_{\text{down}}$  و  $k_{\text{up}}$  به ترتیب هدایت هیدرولیکی اشباع بالا و پایین سطح

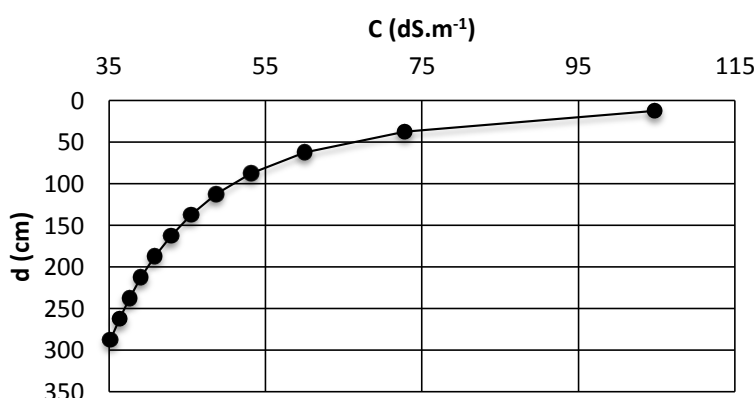


Fig. 1- Soil salinity profile before leaching

شکل ۱- نیمرخ شوری خاک قبل از آبشویی

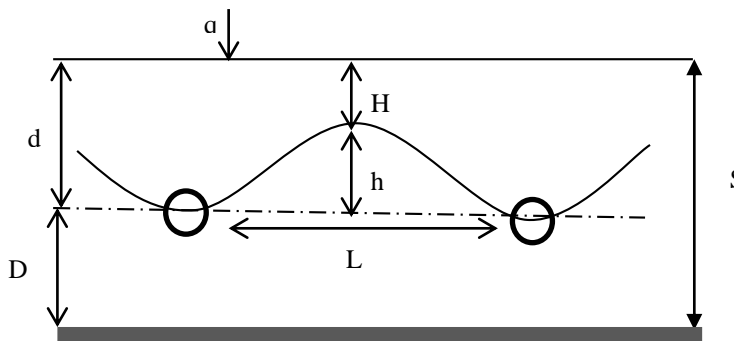


Fig. 2- Hooghoudt equation parameters

### شکل ۲- نمایش پارامترهای به کار رفته در معادله هوخهات

به دست آمده، روش‌های مختلفی از جمله روش‌های زیر پیشنهاد شده‌اند.  
روشن نش متقارن<sup>۳</sup>: این روش که توسط Nash (1953) به منظور حل بازی‌های همکارانه معرفی گردید، بر مبنای بیشینه‌سازی فاصله همه هدف‌ها از حداقل مقدار آن‌ها است.

$$\text{Maximize} \prod_{i=1}^m (f_i^+ - f_i^-) \quad (8)$$

Subject to:

$$f_i^- \leq f_i \leq f_i^+$$

که  $f_i$  تابع هدف  $\alpha_m$ ،  $f_i^-$  و  $f_i^+$  به ترتیب کمترین و بیشترین مقادیر تابع هدف  $\alpha_m$  هستند.

روشن نش نامتقارن<sup>۴</sup>: این روش که توسط Harsanyi and Selten (1972) معرفی گردید برای مواردی که در روش نش، اهداف از درجه اهمیت متفاوتی برخوردار باشند، با استفاده از توان‌های متفاوت برای هدف‌های مختلف قابل اعمال است.

$$\text{Maximize} \prod_{i=1}^m (f_i^+ - f_i^-)^{w_i} \quad (9)$$

Subject to:

$$f_i^- \leq f_i \leq f_i^+$$

$w_i$  درجه اهمیت تابع هدف  $\alpha_m$  است.

روشن Kalai-Smorodinsky: نقطه تقسیم عادلانه در این روش که توسط Kalai and Smorodinsky (1975) ارائه شد، نقطه تقاطع منحنی پارتونرمال شده با خط ترسیمی از مبدأ است. ضریب زاویه خط ترسیم شده، نشان‌دهنده درجه اهمیت هدف‌های مختلف است. به عبارت دیگر نقطه تقسیم عادلانه جواب معادله

$$f_i^- + \left[ \frac{(f_2^+ - f_2^-)}{(f_1^+ - f_1^-)} \right] (f_1^+ - f_1^-) \left( \frac{w_2}{w_1} \right) - f_2^- = 0$$

هدف  $\alpha_m$  است. چنانچه درجه اهمیت اهداف برابر باشد خط ترسیم

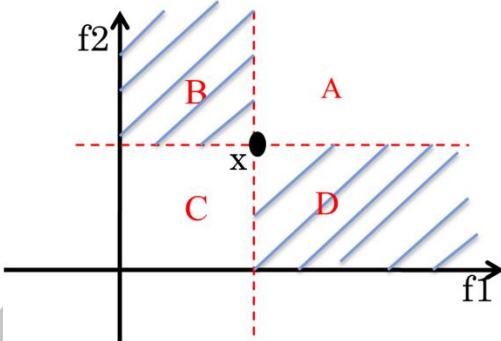


Fig. 3- Dominant and non-dominant answers

### شکل ۳- جواب‌های غالب و نامغلوب

ب- غالبه نسبی جواب‌ها بر یکدیگر: مقدار غالبه بین دو جواب  $x_1$  و  $x_2$  برابر  $\Delta_{\text{dom}}_{x_1, x_2}$  است.  $R_i$  محدوده تغییرات هدف  $\alpha_m$  است.

$$\Delta_{\text{dom}}_{x_1, x_2} = \prod_{i=1}^M (|f_i(x_1) - f_i(x_2)| / R_i) \quad (7)$$

الگوریتم از دمای بیشینه اولیه ( $T_{\text{Initial}}$ ) آغاز و به ترتیج با آهنگ یکنواخت  $T_{i+1} = \lambda \cdot T_i$  کاهش یافته تا به دمای نهایی ( $T_{\text{Final}}$ ) برسد.  $\lambda$  پارامتر کاهش دما، عددی بین صفر و یک است. در شروع الگوریتم تعدادی جواب به طور تصادفی ساخته شده و پس از مقایسه میان آن‌ها، جواب‌هایی که با یکدیگر نامغلوب هستند در مجموعه میان آن‌ها، ذخیره می‌شود. از آرشیو ساخته شده برای ایجاد جواب‌های بعدی کمک گرفته می‌شود. نحوه عملکرد الگوریتم AMOSA در شکل ۴ به صورت یک شبیه کد نمایش داده شده است.  $n$  تعداد دفعات اجرای مدل در هر دما و  $k$  تعداد نقاطی از آرشیو است که بر جواب فعلی غالبه می‌کند.

### ۴-۲- روش‌های تقسیم عادلانه منافع

از آنجاکه مدل‌های بهینه‌سازی چنددهدفه دارای جواب منحصر به فرد و یکتاپی نیستند، برای یافتن جواب نهایی در بین جواب‌های نامغلوب

شده، نیمساز است. شکل ۵ نحوه محاسبه تقسیم عادلانه را به روش Kalai-Smorodinsky نمایش می‌دهد.

```

- Set  $T_{Initial}$ ,  $T_{Final}$ ,  $\lambda$ ,  $n$ 
- Create an archive with non-dominated solutions
- Random selection of the archive (Current-pt)
-  $T_i = T_{Initial}$ 
- While  $T_i > T_{Final}$ 
  -  $i=1$ 
  - While  $i < n$ 
    - Creating a new solution (New-pt) by changing in Current-pt
    - Check the status of dominance between New-pt and Current-pt
    -  $i=i+1$ 
    ○ Case 1: if Current-pt and  $k$ , ( $k \geq 0$ ) points of archive dominate New-pt then New-pt is selected as the Current-pt with a probability of  $P$ 
      
$$P = \frac{1}{1 + \exp(\Delta dom_{avg} \times T_i)}$$

      
$$\Delta dom_{avg} = \frac{\left( \sum_{j=1}^k \Delta dom_{i,new} \right) + \Delta dom_{current,new}}{(k+1)}$$

    ○ Case 2: if New-pt and Current-pt are nondominating to each other
      I: if New-pt is dominated by  $k$ , ( $k \geq 1$ ) points in archive then New-pt is selected as the Current-pt with a probability of  $P$ 
      
$$\Delta dom_{avg} = \frac{\left( \sum_{i=1}^k \Delta dom_{i,new} \right)}{k}$$

      
$$P = \frac{1}{1 + \exp(\Delta dom_{avg} \times T_i)}$$

      II: if New-pt is nondominating with all the points in the archive then set the New-pt as the Current-pt and add it to archive
      III: if New-pt dominates  $k$ , ( $k \geq 1$ ) points of the archive then set the New-pt as the Current-pt and add it to archive, remove all the  $k$  dominated points from the archive
    ○ Case 3: if New-pt dominates Current-pt
      I: if New-pt is dominated by  $k$ , ( $k \geq 1$ ) points in archive then set point of the archive which corresponds to the  $\Delta dom_{min}$  as the Current-pt with probability  $P$ 
      
$$\Delta dom_{min} = \min \{ \Delta dom_{i,new} | i=1,2,\dots,k \}$$

      
$$P = \frac{1}{1 + \exp(-\Delta dom_{min})}$$

      II: if New-pt is nondominating with all the archive points then select the New-pt as the Current-pt
      III: if New-pt dominates  $k$  points in archive then set the New-pt as the Current-pt and all the  $k$  dominated points from the archive
    End While
    -  $T_i := \lambda T_i$ 
End While

```

**Fig. 4- The proposed multi-objective algorithm pseudo code**

شکل ۴- شبیه کد الگوریتم چندهدفه پیشنهادی

$$\begin{aligned} \text{Min } C_{S\text{-Term}} & \quad \text{and} \quad \text{Min } C_{L\text{-Term}} \\ \text{S.T:} \\ C_{S\text{-Term}} &= \int_0^d 255.21 d^{-0.35} \\ C_{L\text{-Term}} &= C_{up} \times \frac{\frac{4k_{up}h^2}{L^2}}{\frac{4k_{up}h^2 + 8k_{down}d_e h}{L^2}} \\ &+ C_{down} \times \frac{\frac{8k_{up}d_e h}{L^2}}{\frac{4k_{up}h^2 + 8k_{down}d_e h}{L^2}} \quad (11) \\ 1 \leq d \leq 3 \\ R \in \{0.1, 0.125\} \end{aligned}$$

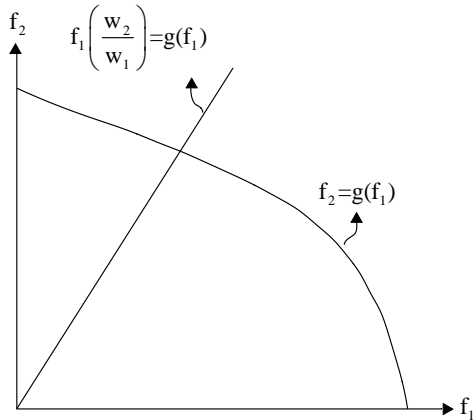
در رابطه فوق  $C_{S\text{-Term}}$  و  $C_{L\text{-Term}}$  به ترتیب غلظت شوری خارج شده در کوتاه مدت و بلند مدت است. پارامترهای فاصله ( $L$ ) و شاعر لوله زهکش ( $R$ ), متغیرهای تصمیم مسئله هستند که توسط مدل بهینه سازی AMOSA تخمین زده می شود، سپس توسط رابطه هوخهات (معادله ۳) عمق نصب محاسبه می شود. دامنه تغییرات عمق نصب لوله زهکش ( $d$ ) با توجه به گیاه مورد نظر (نیشکر) از یک تا سه متر است و همچنین شاعر های تجاری موجود در بازار شامل شاعر های ۱/۰ و ۰/۱۲۵ متر است.

### ۳- نتایج و بحث

#### ۳-۱- نتایج حاصل از مدل AMOSA

مدل بهینه سازی چند هدفه AMOSA به ازای پارامترهای  $T_{Initial}=5000$ ,  $T_{Final}=100$ ,  $\lambda=0.99$  و  $n=1$  بر روی مطالعه موردي اعمال گشت. نتایج حاصل از اجرای این مدل در شکل ۶ ارائه شده است. محور افقی نشان دهندهتابع هدف کوتاه مدت شوری ناشی از آبشویی اولیه ( $C_{S\text{-Term}}$ ) و محور قائم شوری خارج شده در دراز مدت ( $C_{L\text{-Term}}$ ) را نمایش می دهد.

بر اساس این نمودار دامنه تغییرات  $C_{S\text{-Term}}$  از حدود ۷۰ تا ۱۰۱ و  $C_{L\text{-Term}}$  از حدود ۹ تا ۲۴ دسی زیمنس بر متر متغیر است. همان گونه که مشاهده می شود بهبود یکی از اهداف منجر به تعییف دیگری شده است و بالعکس. در جدول ۲ تعدادی از جواب های بهینه پارتو آمده است. ستون های اول تا سوم به عمق، فاصله و شاعر بهینه اختصاص دارد و ستون چهارم غلظت شوری آبشویی اولیه ( $C_{S\text{-Term}}$ ) و ستون پنجم شوری بلند مدت ( $C_{L\text{-Term}}$ ) را نمایش می دهد.



**Fig. 5- Kalai-Smorodinsky optimum point**  
شکل ۵- انتخاب نقطه بهینه بر اساس روش Kalai-Smorodinsky

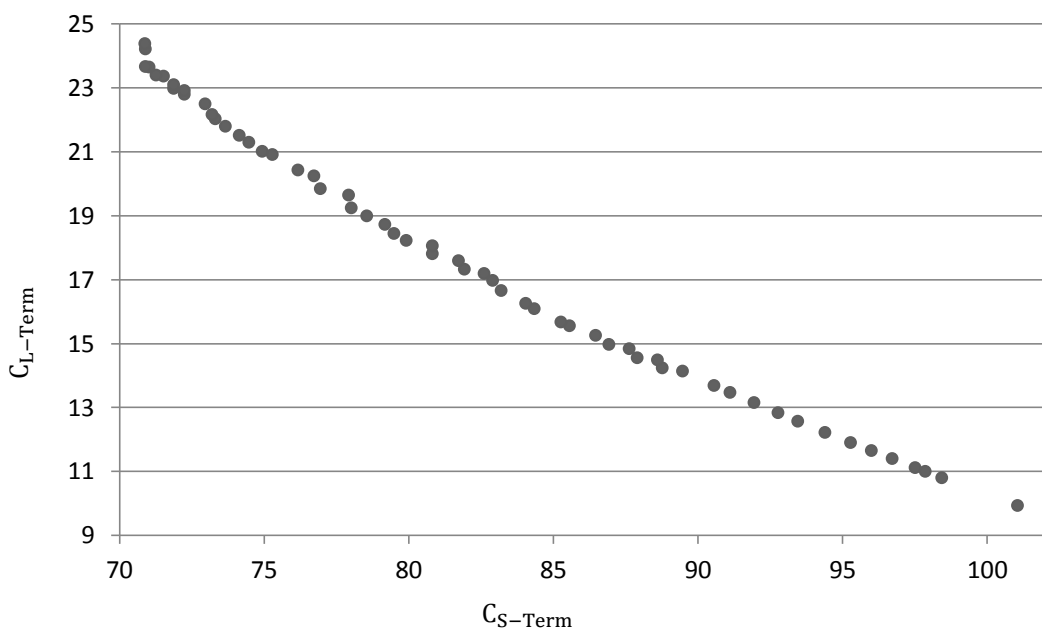
روش Monotonic Area: برای محاسبه نقطه تقسیم عادلانه در این روش از مساحت زیر منحنی پارتو به دست آمده استفاده می شود، به نحوی که نقطه تعادل در این روش نقطه ای است که مساحت زیر منحنی پارتو را به دو قسمت متناسب با درجه اهمیت اهداف تقسیم نماید. بر اساس تحقیق (Rouhparvar et al. 2014) اگر اهمیت اهداف برابر نباشد، درنتیجه توان اختصاص داده شده به آنها نیز برابر نبوده و خط متمایل به سمت هدف با اهمیت بیشتر می شود. با استفاده از حل معادله غیرخطی (۹)، نقطه تعادل قابل محاسبه است. نقطه  $(f_1^*, f_2^*) = g(f_1^*)$  نقطه تعادل مسئله است.

$$w_2 \left[ \int_{f_1^*}^{f_1} g(t) dt - \frac{1}{2} \left( \bar{f}_1^* - \bar{f}_1 \right) \left( g(\bar{f}_1^*) + \bar{f}_2 \right) \right] \quad (10)$$

$$= w_1 \left[ \int_{f_1^*}^{f_1} g(t) dt - \left( \bar{f}_1 - \bar{f}_1^* \right) \bar{f}_2 + \frac{1}{2} \left( \bar{f}_1^* - \bar{f}_1 \right) \left( g(\bar{f}_1^*) - \bar{f}_2 \right) \right]$$

#### ۵-۲- مدل دو هدفه زیست محیطی پیشنهادی

آبشویی اولیه برای ایجاد شرایط مناسب کشت گیاهان در خاک هایی که شوری بالایی دارند صورت می گیرد. خارج کردن این مقدار نمک و وارد شدن حجم بالایی زه آب به محیط در مدت زمان کوتاه نیز به محیط زیست آسیب وارد می کند. همچنین بنا بر معادله هوخهات و به واسطه شوری خاک زیر زهکش، در هنگام بهره برداری نیز حجم قابل توجهی از نمک در دراز مدت به محیط زیست تخلیه می شود. در مدل پیشنهادی کاهش اثرات بلند مدت و کوتاه مدت زیست محیطی به طور همزمان مورد توجه قرار گرفته است. به این ترتیب تابع هدف این مدل شامل دو تابع هدف کوتاه مدت و بلند مدت زیست محیطی است.



**Fig. 6- Pareto optimal frontier; salinity of primary leaching vs. the operational leaching**  
**شکل ۶- جبهه بهینه پارتو، غلظت آبشویی اولیه در برابر غلظت زه آب بهره‌برداری**

نش نامتقارن، Kalai-Smorodinsky و Monotonic Area را نمایش می‌دهد.

نتایج جدول ۳ نشان می‌دهد تغییرات عمق بهینه نصب، به ازای روش‌های مختلف تقسیم منافع از ۱/۴۵ تا ۲ متر متغیر است، به گونه‌ای که اگر دو هدف از درجه اهمیت یکسان برخوردار باشند عمق بهینه نصب از روش‌های مختلف در حدود ۱/۷۵ متر است و اگر کاهش شوری خروجی در کوتاه‌مدت از اهمیت بیشتری نسبت به بلندمدت برخوردار باشد عمق نصب به حدود ۱/۴۵ متر کاهش می‌یابد و همچنین اگر تابع هدف بلندمدت زیستمحیطی از اهمیت بیشتری برخوردار باشد عمق نصب به حدود ۲ متر افزایش می‌یابد.

#### ۴- خلاصه و جمع‌بندی

با نگاه دقیق به سامانه‌های زهکشی موجود و مشکلات آن‌ها می‌توان به اهمیت تعیین بهینه پارامترهای طراحی این سامانه‌ها پی برد. در گذشته بیشتر به جنبه بلندمدت زیستمحیطی ناشی از اجرای طرح‌های زهکشی پرداخته می‌شده است، در این تحقیق تلاش شده است تا مدلی برای انتخاب بهینه پارامترهای طراحی ارائه شود به گونه‌ای که هم اثرات بلندمدت مدت ناشی از تخلیه زه‌آب و هم اثرات کوتاه‌مدت ناشی از آبشویی اولیه را مدنظر قرار دهد.

همان‌گونه که مشاهده می‌شود در حالی که دامنه تغییرات عمق بهینه از ۹/۱۰ تا ۲/۷۳ متر، فاصله بهینه از ۱۵ تا ۷۰ متر است، شاعع بهینه انتخاب شده در عمق‌های کمتر از ۱/۷۰ متر برابر ۱/۰ متر و در سایر عمق‌ها از ۱/۰۲۵ متر استفاده شده است. همچنین به ازای عمق‌های کم نصب، مقدار شوری خارج شده در کوتاه‌مدت کم است در حالی در همین عمق‌ها شوری خارج شده در درازمدت مقدادر قابل توجهی هستند. دلیل این موضوع را می‌توان به شکل ۱ نسبت داد. مطابق شکل ۱ هر چه عمق نصب کمتر باشد مقدار کمتری از خاک در آبشویی اولیه شسته می‌شود، در حالی که با توجه به مجاورت با خاک با شوری زیاد، در درازمدت باعث خروج نمک زیادی خواهد شد. همچنین هرچند که در عمق نصب زیاد، مقدار زیادی نمک در ابتدا شسته می‌شود لیکن در درازمدت مقدادر کمتری از نمک خارج خواهد شد. همچنین به ازای عمق‌های کم نصب، آبشویی اولیه کمترین آسیب را به محیط‌زیست وارد می‌کند، در صورتی که این عمق‌ها در بلندمدت موجب خروج زه‌آب باکیفیت پایین به محیط‌زیست می‌شوند.

#### ۳- نتایج حاصل از مدل‌های تقسیم عادلانه منافع

همان‌گونه که مشاهده شد نتایج مدل بهینه‌سازی چنددهفه اجرا شده دامنه وسیعی از جواب‌ها از عمق کم تا عمق زیاد را در برمی‌گیرد. لذا به منظور انتخاب یک عمق نصب نهایی از مدل‌های تقسیم منافع عادلانه استفاده شده است. جدول ۳ نتایج حاصل از مدل‌های نش،

**Table 2- Some Pareto optimum results obtained from the two-objective environmental model****جدول ۲- تعدادی از نتایج بهینه پارتو حاصل از مدل دوهدفه زیست محیطی**

Depth (m)	Distance (m)	Radius (m)	$C_{S\text{-Term}} (\text{dS.m}^{-1})$	$C_{L\text{-Term}} (\text{dS.m}^{-1})$
1.10	15.35	0.10	70.90	23.68
1.20	23.00	0.10	73.20	22.12
1.30	29.52	0.10	75.62	20.67
1.40	35.14	0.10	78.03	19.33
1.50	38.92	0.10	79.81	18.38
1.60	43.10	0.10	81.94	17.58
1.70	46.61	0.125	83.75	16.70
1.80	50.19	0.125	85.84	15.72
1.90	52.86	0.125	87.49	14.99
2.00	55.60	0.125	89.27	14.24
2.15	59.10	0.125	91.72	13.26
2.25	61.42	0.125	93.46	12.60
2.40	64.31	0.125	95.78	75.11
2.50	65.98	0.125	97.22	11.24
2.66	68.54	0.125	99.63	10.42
2.73	69.56	0.125	100.67	10.08

**Table 3- Final optimum solution among the Pareto optimal solutions****جدول ۳- جواب بهینه نهایی از میان جواب‌های بهینه پارتو**

Method	Depth (m)	Distance (m)	Radius (m)	$C_{S\text{-Term}} (\text{dS.m}^{-1})$	$C_{L\text{-Term}} (\text{dS.m}^{-1})$
Symmetric Nash	1.75	48.23	0.13	84.68	16.26
Non-Symmetric Nash $w_1=2, w_2=1$	2.00	55.60	0.13	89.27	14.24
Non-Symmetric Nash $w_1=1, w_2=2$	1.45	38.92	0.10	78.77	18.85
Kalai-Smorodinsky $w_1=1, w_2=1$	1.70	46.61	0.13	83.75	16.70
Kalai-Smorodinsky $w_1=2, w_2=1$	1.94	53.80	0.13	88.09	14.74
Kalai-Smorodinsky $w_1=1, w_2=2$	1.47	37.75	0.10	79.29	18.61
Monotonic Area	1.73	47.57	0.13	84.30	16.44

آسیب را به محیط‌زیست وارد می‌کند، در صورتی که این عمق‌ها در بلندمدت موجب خروج زه‌آب با کیفیت پایین به محیط‌زیست می‌شوند. همچنین، بهمنظور انتخاب جواب نهایی از بین جواب‌های ارائه شده توسط مدل AMOSA از مدل‌های تقسیم عادلانه منافع نش، Monotonic Area و Kalai-Smorodinsky است. بهاین ترتیب به ازای عمق‌های کم نصب، آبشویی اولیه کمترین

مدل ارائه شده مدل بهینه‌سازی چندهدفه AMOSA، مدلی بر مبنای SA است. نتایج حاصل از اجرای مدل نشان می‌دهد که مقدار غلظت آبشویی اولیه جواب‌های بهینه از حدود ۷۱ تا ۱۰۱ دسی‌زیمنس بر متر و غلظت زه‌آب بهره‌برداری نیز بین ۱۰ تا ۲۴ دسی‌زیمنس بر متر متغیر است. بهاین ترتیب به ازای عمق‌های کم نصب، آبشویی اولیه کمترین

نشان می دهد که اگر دو هدف از درجه اهمیت یکسان برخوردار باشند عمق بهینه نصب از روش های مختلف در حدود ۱/۷۵ متر است.

### پی‌نوشت‌ها

- 1- Archived Multi-Objective Simulated Annealing (AMOSA)
- 2- Pareto Frontier
- 3- Symmetric Nash Solution
- 4- Non-Symmetric Nash Solution

### ۵- مراجع

- Kalai E and Smorodinsky M (1975) Other solutions to Nash's bargaining problem. *Econometrica* 43:513-518
- Konukcu F, Gowing G W and Rose D A (2005) Dry drainage: A sustainable solution to water logging and salinity problems in irrigation areas. *Agricultural Water Management* 83(1):1-12
- Mazandaranizadeh H (2016) Drainage system design by NSGA-II multi objective algorithm using economic and environmental approach. *Journal of Iran-Water Resources Research* 12(3):142-152 (In Persian)
- Mokhtaran R, Naseri A, Kashkuli H A and Boroomandnasab S (2013) Effect of drainage depth and impermeable layer on the flow rate and drainage water salinity in the irrigated soils of south Khuzestan. *Journal of Soil and Water Conservation* 3(1):61-73 (In Persian)
- Nash J (1953) Two-Person Cooperative Games. *Econometrica* 21(1):128-140
- Nijland H J, Croon F W and Ritzema H P (2005) Subsurface drainage practices: Guidelines for the implementation, operation and maintenance of subsurface pipe drainage systems. Alterra, Wageningen, The Netherlands, 607p
- Nazari B, Liaghat A, Parsinejad M and Naseri A (2008) Optimization of drainage depth based on the economical and environmental aspects. 5th workshop on Drainage and Environmental Engineering (In Persian)
- Rajabzadeh F, Pazira E and Mahdian M H (2011) Studies on appropriate and an empirical model for salt leaching of Saline-Sodic soils of central part of Khuzestan province. *Journal of Water and Soil Conservation* 18(3):61-84 (In Persian)
- Rouhparvar M, Mazandaranizadeh H and Nasirzadeh F (2014) Quantitative risk allocation in construction projects: a fuzzy-bargaining game approach. *International Journal of Industrial Engineering & Production Research* 25(2):83-94
- Sotoodehnia A, Razi F and Daneshkar Arasteh P (2014) Using SEEP/W numerical model to simulate drain installation depth effects on drain water salinity improvement. *Iranian Journal of Irrigation and Drainage* 8(1):187-196 (In Persian)
- Adimi M (2006) A brief outlook on the current situation, challenges and approaches of drainage in Iran. 4th workshop on Drainage and Environmental Engineering (In Persian)
- Bandyopadhyay S, Saha S, Maulik U and Deb K (2008) A simulated annealing-based multi-objective optimization algorithm: AMOSA. *IEEE Transactions on Evolutionary Computation* 12(3):269-283
- Banhabib ME, Mohammad Rezapour Tabari M, Mohammad Rezapour Tabari M (2017) Development of integrated multi-objective strategy for reallocation of agricultural water. *Journal of Iran-Water Resources Research* 13(1):38-52 (In Persian)
- Corwin DL, Rhoades JD and Simunek J (2007) Leaching requirement for soil salinity control: Steady-state versus transient models. *Agricultural Water Management* 90(3):165-180
- Gaarde V S, Bernstein J, Rhoades L and Rawlins S L (1974) Irrigation management of salt control. *Journal of Irrigation and Drainage Division* 100:321-338
- Hanson B R, Grattan S R and Fulton A (2006) Agricultural salinity and drainage. California University Davis, California, 164p
- Harsanyi J and Selten R (1972) A generalized Nash solution for two-person bargaining games with incomplete information. *Management Science* 18(5):80-106